

## Bent over jetの1次元解析(2)

山口大学工学部 正○羽田野袈裟義  
山口大学工学部 正 斎藤 隆  
熊本県 上田 邦彦

## 1. 序

bent over jet の現象は、煙突からの煙、産業排水の放出などにみられその挙動を精度よく予測することは環境問題に関連して強く望まれている。著者らは前報<sup>1)</sup>において、この流れの進行はこれに特有の2個の反対回転の渦により惹起される流れにほぼ支配されるとの考えに基づき、1次元解析モデルに新しいタイプの進行量の評価を組み込んだ解析法を提案した。その後、進行量評価のために導入された渦強さの表示を再検討し、また進行に関わる係数や抗力係数の再評価を行なったので、その結果をここに報告する。

## 2. 理論の概要

基礎式については前報とほぼ同様である。前報と異なるのは passive contaminant の濃度の実験データから進行量を評価するためこれについての保存則を追加した点である。図-1および2に示す1次元モデルで考える。噴流は外部流による圧力抵抗と進行により軌道を曲げる。基礎式は、体積保存則、passive contaminant の保存則、および運動量の外部流方向・直角方向の成分の収支式で、それぞれ式(1)～(4)で表わされる。

$$\frac{d}{ds}(au) = 0 \quad (1)$$

$$\frac{d}{ds}(cau) = 0 \quad (2)$$

$$\frac{d}{ds}(\beta \rho au^2 \cos \theta) = 0 \quad (3)$$

$$\frac{d}{ds}(\beta \rho au^2 \sin \theta) = \rho Q_e U_1 + C_d \rho U_1^2 \ell \cos \theta \quad (4)$$

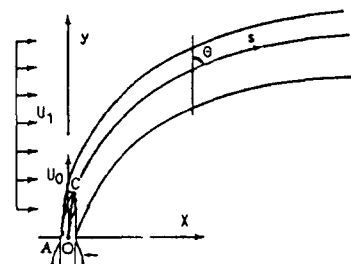


図-1 解析モデル

ここに、 $a$  は噴流断面積、 $u$  は断面平均流速、 $c$  は passive contaminant の濃度、 $\theta$  は噴流軸方向角、 $s$  は噴流軸に沿ってとった長さ、 $\ell$  は噴流幅、 $C_d$  は抗力係数、 $Q_e$  は  $s$  の単位長さあたりの進行流量である。

上4式を変形し、 $da/ds$ ,  $du/ds$ , および  $d\theta/ds$  について解き、出口の直径  $d$ 、出口流速  $U_0$ 、および断面積  $a_0$  を用いて無次元化すると、式(5)～(8)が得られ、噴流軸軌道は式(9)で計算される。

$$\frac{da'}{ds'} = \frac{8Q_e}{\pi du_0 u'} - \frac{1}{\beta} \left( \frac{4Q_e U_1}{\pi du_0^2} + \frac{4C_d \ell U_1^2}{\pi du_0^2} \cos \theta \right) \frac{1}{u'^2} \sin \theta \quad (5)$$

$$\frac{du'}{ds'} = - \frac{4Q_e}{\pi du_0 a'} + \frac{1}{\beta} \left( \frac{4Q_e U_1}{\pi du_0^2} + \frac{4C_d \ell U_1^2}{\pi du_0^2} \cos \theta \right) \frac{1}{a' u'} \sin \theta \quad (6)$$

$$\frac{d\theta}{ds'} = \frac{1}{\beta} \left( \frac{4Q_e U_1}{\pi du_0^2} + \frac{4C_d \ell U_1^2}{\pi du_0^2} \cos \theta \right) \frac{1}{a' u'^2} \cos \theta \quad (7)$$

$$\frac{dc'}{ds'} = \frac{4Q_e}{\pi du_0} \frac{c'}{u' a'}, \quad (8) \quad \frac{x}{d} = \int \sin \theta ds', \quad \frac{y}{d} = \int \cos \theta ds' \quad (9)$$

2個の反対回転の渦による進行を図-2のモデルにより評価する。渦軸に沿

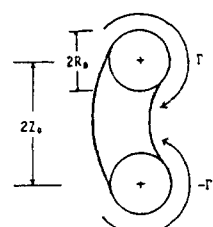


図-2 連行機構

う微小長さ  $d_s$  の区間において周囲流体が噴流背後凹部空間に取り込まれる流量  $Q_e \cdot d_s$  は、渦の強さを  $\Gamma$  とすれば係数  $K_1$  を用いて式(10)で評価する。

$$Q_e \cdot d_s = 2d_s \frac{2Z_\theta + R_\theta}{R_\theta} V(r) dr = K_1 \frac{\Gamma}{\pi} d_s \log \frac{2Z_\theta + R_\theta}{R_\theta} \quad (10)$$

また、渦は噴流断面内にプラスマイナス  $\Gamma$  の渦強さをもつ2本存在する。この値は  $s$  方向に一定と考えるのが妥当であるが、ここでは噴流出口断面における周辺部でのせん断により生じると考え、出口断面の長さスケールを  $L = \sqrt{a\alpha}$ 、出口での相対速度を  $u_{\theta e}$ 、  $K_2$  を定数として式(11)で評価する。

$$\Gamma = K_2 \cdot L \cdot u_{\theta e} = K_2 \cdot \sqrt{a\alpha} \cdot u_{\theta e} \sqrt{(U_1/u_{\theta e})^2 + \cos^2 \theta_\theta} \quad (11)$$

計算では  $\ell = 2 (Z_\theta + R_\theta)$ 、  $K = K_1 \cdot K_2$ とした。つぎに、式(10)中の  $Z_\theta$  と  $R_\theta$  の比率は前報と同様、  $b$  ent over jet の断面形状について Rajaratnam が整理した結果を用いて評価し、  $Z_\theta/R_\theta = 2.97s/(\alpha^2 d)$  ;  $\alpha = u_\theta/U_1$  とおいた。

### 3. 計算結果と考察

式(10)～(11)を式(5)～(8)に代入してルンゲクッタ法により計算し、 Patrick の論文中の実験データと比較し、モデルに導入された係数  $K$  および抗力係数  $C_d$  の値を求めた。まず、 Patrick の論文中、噴流軸軌道に沿う濃度の低減のデータと、噴流軸軌道のデータとで実験条件の対応がつくものを選び出した。そして噴流軸方向の濃度低減のデータに本モデルを適用し、最適の  $K$  を求めた。なお、本稿で対象としている、 passive contaminant の場合は  $C_d$  を変化させても最適  $K$  値は変化しない。このことは式(8)が示唆するところである（重力噴流の場合には、  $C_d$  値により最適  $K$  値が変化する）。つぎに、この  $K$  値を用いて、実験条件が対応する噴流軸軌道の実験データに本モデルを適用し、最適の  $C_d$  値を求めた。これらの結果が図-3、4に示されている。

検討した実験条件の範囲では、  $K$  の値は大体 1～1.5程度でほぼ一定であった。 $C_d$  はか

なり幅があり、速度比（噴出速度／周囲流速度）が 10 度程における 0.8 度程の値から速度比 40 度程における 1.5 度程の値へと、速度比とともに  $C_d$  は増大している。この  $C_d$  値は 2 次元物体の抗力係数と同程度となっている。

### 参考文献

- 1) 羽田野・秋田・齊藤： bent over jet の 1 次元解析、第40回土木学会中国四国支部講演集、1988
- 2) Patrick, M.A. : Experimental investigation of the mixing and penetration of a round turbulent jet injected perpendicularly into a transverse stream, Trans. Inst. Chem. Eng., 45, 1967

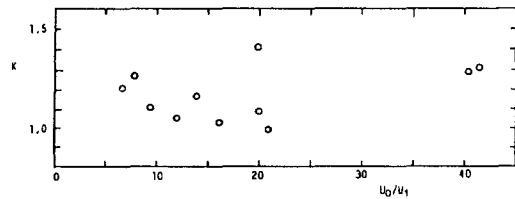


図-3  $K$  と  $U_\theta/U_1$  の関係

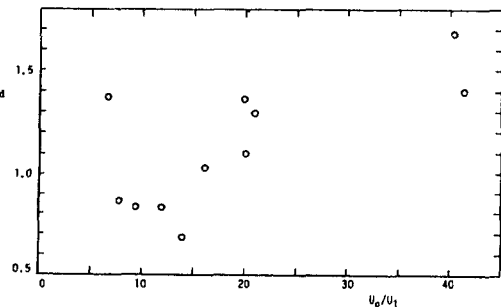


図-4  $C_d$  と  $U_\theta/U_1$  の関係